

بررسی تأثیر پالایش و پرس کاغذ در استفاده از سلولز نانو فیبریله شده بهمنظور بهبود ویژگی‌های خمیرکاغذ شیمیایی - مکانیکی CMP

صهباء علی‌نیای لakanی^{۱*}، الیاس افرا^۲ و حسین یوسفی^۳

*- نویسنده مسئول، دانشجوی دکترای صنایع خمیر و کاغذ، دانشکده منابع طبیعی، دانشگاه تهران، کرج

پست الکترونیک: aliniasahba@yahoo.com

- استادیار، گروه صنایع خمیر و کاغذ، دانشکده مهندسی چوب و کاغذ، دانشگاه علوم کشاورزی و منابع طبیعی گرگان

- استادیار، گروه تکنولوژی و مهندسی چوب، دانشکده مهندسی چوب و کاغذ، دانشگاه علوم کشاورزی و منابع طبیعی گرگان

تاریخ دریافت: مهر ۱۳۹۴ تاریخ پذیرش: بهمن ۱۳۹۴

چکیده

در این پژوهش سلولز نانو فیبریله شده به عنوان یک نانو ماده تقویت‌کننده زیست تخریب‌پذیر که اخیراً توجه زیادی از محققان و تولیدکنندگان کاغذ را به خود جلب کرده، با درصد های مختلف ۵، ۲۰، ۵۰ و ۱۰۰ درصد به خمیرکاغذ شیمیایی مکانیکی مورد استفاده در ساخت مقوای روکش در دو سطح مختلف درجه روانی اضافه شد. همچنین تأثیر پرس تر به عنوان یکی از مهمترین عوامل فرایندی مؤثر بر ویژگی‌های خمیرکاغذ تقویت شده با سلولز نانو فیبریله شده، در دو سطح فشار پرس ۳ و ۶ بار مورد بررسی قرار گرفت. در پایان خواص فیزیکی، ممانعتی و مقاومتی کاغذهای حاصل مطابق با استاندارهای تایپ اندازه‌گیری شدند. با افزودن نانوفیبریل‌های سلولزی بهبود قابل توجه خواص کششی و مقاومت به عبور هوای خمیرکاغذ شیمیایی مکانیکی CMP مشاهده شده و روند افزایشی بهبود این خواص با افزایش فشار پرس تراز جمله دستاوردهای مهم این تحقیق به شمار می‌رود.

واژه‌های کلیدی: سلولز نانو فیبریله شده، خمیرکاغذ شیمیایی مکانیکی، پرس تر، ویژگی‌های کاغذ.

مقدمه

و مواد افروزنی غیر فیبری مانند پرکننده‌ها، عوامل آهاردهی درونی و چسب‌های ویژه خمیرکوب از جمله پلیمرهای طبیعی و مصنوعی اشاره کرد (Manninen *et al.*, 2011, Madani, 2011, et al., 2011). علاوه بر این، برای ایجاد خواص ممانعتی از فناوری‌های مختلفی مانند آهار سطحی و اندود استفاده می‌شود. همین‌طور نیاز به پالایش این نوع از خمیرکاغذها با هدف بهبود سطح ویژه پیوند را نیز باید متذکر شد که خود نیازمند مصرف زیاد انرژی است. در عین حال تولیدکنندگان کاغذ با چالش‌هایی مانند ماندگاری و زیست تخریب‌پذیری

فرایند خمیرکاغذسازی به روش شیمیایی - مکانیکی برای تولید خمیرکاغذ مناسب و پر بازده از پهنه بزرگان توسعه یافته است. این فرآورده به تهایی و بدون تیمار با مواد مختلف استحکام لازم و قابلیت نفوذ پذیری به هوا و رطوبت مناسبی ندارد. به همین دلیل تلاش‌های زیادی به منظور بهبود خواص فیزیکی، مقاومتی و ممانعتی محصولات این فرایند مثل کاغذهای بسته‌بندی انجام شده که از جمله آنها می‌توان به افزودن مواد افروزنی فیبری مانند الیاف نرمه حاصل از خمیرکاغذ شیمیایی

تحقیقات نشان داده که افزودن سلولز نانوفیریله شده به سوسپانسیون خمیرکاغذ موجب بهبود خواص فیزیکی (Ahola *et al.*, 2008, Eriksen *et al.*, 2008) ممانتی Fukuzumi *et al.*, 2009, Syverud and Stenius, 2009, (Henriksson *et al.*, 2013) و مقاومتی (Yousefi *et al.*, 2013 2008b, Zimmermann *et al.*, 2010, Afra, *et al.*, 2013, Yousefi *et al.*, 2013) کاغذ میگردد. در نانوفیرهای سلولزی به دلیل زیاد بودن نسبت سطح به حجم، تعداد گروههای هیدروکسیل قرار گرفته در سطح برای تشکیل پیوند هیدروژنی با گروههای هیدروکسیل مجاور بیشتر شده و به دلیل داشتن نسبت نظر زیاد، درهم رفتگی نانوفیرها و تعداد نقاط اتصال آنها به یکدیگر بیشتر میشود. در واقع تعداد بیشتری از نانوفیرها به همدیگر متصل میشوند، از این رو یک شبکه نانوفیری بسیار مستحکم به وجود میآید (Afra *et al.*, 2013, Yousefi *et al.*, 2013)

در صنایع چوب و کاغذ مازندران به عنوان بزرگترین تولیدکننده کاغذ در ایران، از خمیرکاغذ شیمیایی مکانیکی رنگبری نشده برای تولید مقوا روش بسته‌بندی استفاده میشود. در مقوا روش ویژگی‌های مقاومتی و ممانتی بیشترین اهمیت هستند، از این رو بنا شد در این تحقیق از نانوساختارهای سلولزی (سلولز نانوفیریله شده) دوستدار محیط زیست به عنوان یک ماده افزودنی تقویتکننده به خمیرکاغذ شیمیایی مکانیکی رنگبری نشده صنایع چوب و کاغذ مازندران استفاده شود. در عمدۀ تحقیقات گذشته تمرکز بیشتر بر روی تولید این نانوذرات و روش بکارگیری آن در کامپوزیت‌ها و کاغذ بوده است. از طرف دیگر، اساس بکارگیری نانوسلولز، توسعه سطح پیوند بین لیفی در کاغذ بوده و با هدف بهبود ویژگی‌های کاغذ انجام میشود. از این رو هدف اصلی این تحقیق تولید سلولز نانوفیریله شده و تأثیر آن بر بهبود ویژگی‌های کاغذ و همچنین بررسی عوامل فرایندی مؤثر در توسعه سطح پیوند بین لیفی (پالایش خمیرکاغذ و پرس ترکاغذ) و نحوه برهمکنش تغییرات این عوامل در حضور سلولز نانوفیریله شده است.

مواد افزودنی، نحوه بهینه شکل‌گیری و آبگیری خمیرکاغذ در ازای بهبود خواص مقاومتی و ممانتی مواجه هستند Henriksson *et al.*, 2008b, Manninen *et al.*, 2011, (Madani *et al.*, 2011) سلولز از جمله موادی است که هم سبب بهبود ویژگی‌های محصول شده و هم باعث کاهش قیمت آن می‌شود. البته تابه‌حال به سلولز بیشتر از جنبه محاسن هزینه‌ای آن نگاه می‌شود، اما طی سال‌های اخیر با مورد توجه قرار دادن مقاومت ویژه زیاد نانو الیاف سلولزی محصولاتی ساخته شده که خواص مقاومتی آنها به طور چشمگیری افزایش یافته‌اند. تولید نانوفیر سلولز و کاربرد آن در کامپوزیت‌ها و کاغذ به عنوان پرکننده و تقویتکننده به دلیل افزایش مقاومت و سفتی به همراه مصرف کمتر انرژی پالایش، قابلیت بازگشت به طبیعت و تجدیدپذیری محصول توجه زیادی را به خود جلب کرده است (Siro and Plackett, 2010). موارد دیگر کاربرد نانو سلولز عبارتند از: ۱) استفاده از آنها در قرص‌های دارویی به عنوان اتصال‌دهنده، سازگار کننده و حامل مواد دارویی با ذرهای پایین، ۲) ساخت ماسک‌های طبی پوست، ۳) تغلیظ محصولات غذایی، ۴) فیلم‌های نفوذناپذیر به مایعات و گازهای مورد استفاده در صنعت بسته‌بندی، ۵) باتری‌های لیتیومی و خازن‌های ذخیره انرژی الکتریکی، ۶) ساخت زیست مواد مورد استفاده در علوم پزشکی و مهندسی ترمیم و تولید بافت، ۷) استفاده از نانو کریستال سلولز آغشته به دی‌اکسید تیتانیم در سلول‌های خورشیدی و فیلترها، ۸) از آنجایی که نانو سلولز عاری از کلر است، از این رو به عنوان یک ماده افزودنی به مواد غذایی نیز قابل استفاده است (Kamel, 2007).

اگر سوسپانسیون خمیرکاغذ چوب تحت فرایندهای مانند همگن‌سازی و آسیاب دیسکی قرار گیرند، میکروفیریل‌هایی با نسبت منظر زیاد و با قطر ۱۰-۱۰۰ نانومتر با طولی در ابعاد میکرومتر یا کوچک‌تر تولید می‌شوند (Henriksson, 2008a, Afra *et al.*, 2013, Yousefi *et al.*, 2013) نانوذرات سلولز میکرو فیریله شده با توجه به منشأ سلولز در اصل دارای قطر ۳-۲۰ نانومتر و طول بیشتر از ۱ میکرومتر می‌باشند (Ahola *et al.*, 2008, Wegberg *et al.*, 2008).

نمونه‌ها پس از خارج‌سازی از آون به مدت چند دقیقه داخل دسیکاتور قرار گرفتند. درنهایت کاغذها به منظور انجام آزمون‌های فیزیکی و مقاومتی به کارخانه صنایع چوب و کاغذ ایران (چوکا) منتقل و در شرایط استاندارد $T_{40\pm2}$ om-۹۳ آئین‌نامه تایپی در دمای 23 ± 1 درجه سانتی‌گراد و رطوبت نسبی 50 ± 2 درصد قرار گرفتند. اندازه‌گیری ویژگی‌های کاغذهای دستساز طبق استانداردهای مربوط به آئین‌نامه تایپی بدین ترتیب انجام شد؛ وزن پایه: استاندارد شماره T_{410} om-۰۲، دانسیته ضخامت: استاندارد شماره T_{411} om-۰۵، T_{460} om-۰۲، مقاومت کششی: استاندارد شماره T_{494} om-۰۱، مقاومت به پارگی: استاندارد شماره T_{414} om-۰۴. تجزیه و تحلیل داده‌ها با استفاده از مقایسه و گروه‌بندی میانگین‌ها در سطح اطمینان ۹۵ درصد انجام شد.

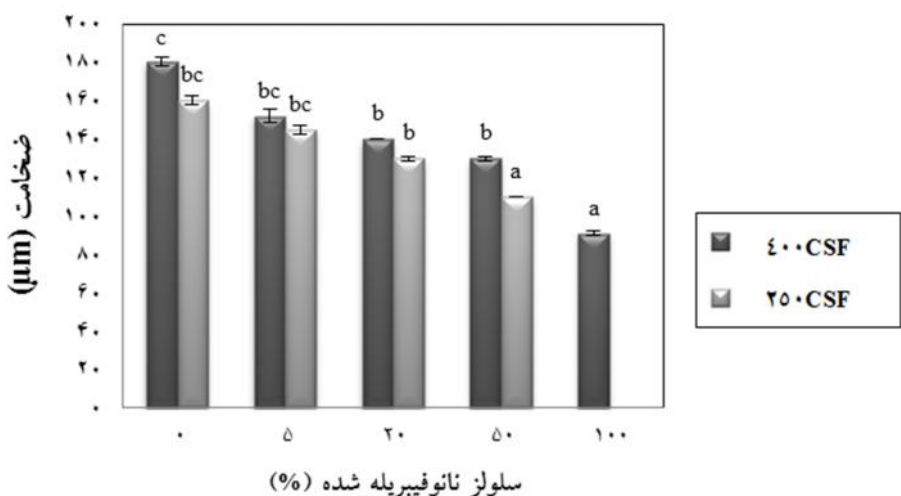
درنهایت برخی از نمونه‌ها، تحت خلاً خشک و با طلاً انود شده، سپس توسط میکروسکوپ الکترونی رویشی نوع گسیل‌میدان (FE-SEM، شرکت هیتاچی، ژاپن) در ولتاژ تسریع شده ۱۵ کیلوولت مشاهده شدند.

نتایج

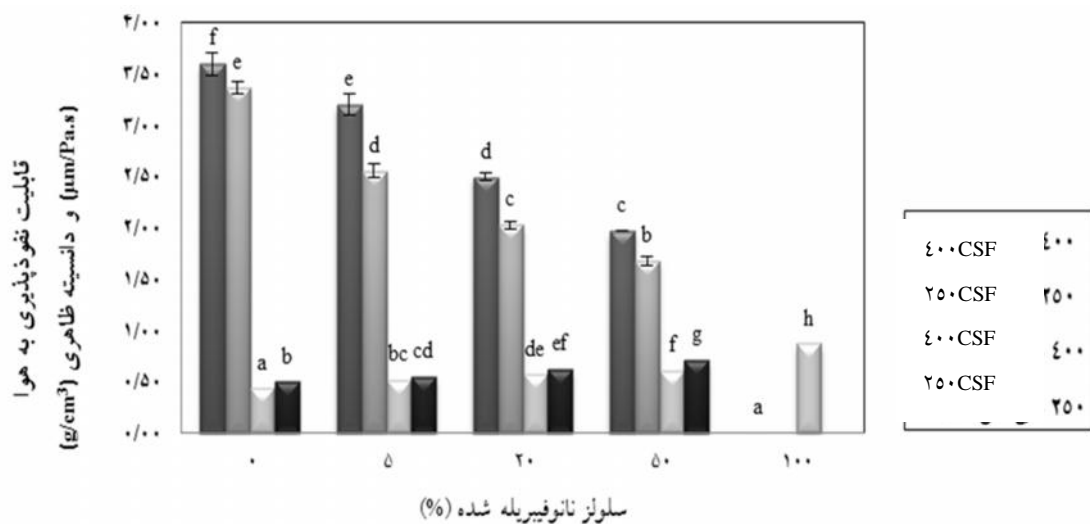
ویژگی‌های فیزیکی و ممانعتی شکل‌های ۱ و ۲ نتایج حاصل از افزودن سلولز نانو-فیبریله شده بر ضخامت، دانسیته ظاهری و قابلیت نفوذپذیری به هوای کاغذهای حاصل را نشان می‌دهد. همان‌طور که مشاهده می‌گردد، با افزایش مصرف سلولز نانو-فیبریله شده و میزان پالایش، ضخامت و قابلیت نفوذپذیری به هوای کاهش دانسیته ظاهری افزایش معنی‌داری پیدا کرده است. به طوری که در سطح مصرف ۱۰۰ درصد سلولز نانو-فیبریله شده نفوذپذیری به هوای صفر رسید.

مواد و روش‌ها

خمیر کاغذ شیمیایی مکانیکی رنگ‌بری نشده حاوی ۷۰ درصد مخلوط کاتین و گرددیه به با کیفیت خوب (۷۵ درصد ممزز، ۲۵ درصد راش)، ۵-۱۵ درصد الیاف بلند رنگ‌بری - نشده و ۵-۱۵ درصد الیاف بازیافتی و تست لاینر از صنایع چوب و کاغذ مازندران تهیه شد. سلولز نانو فیبریله شده از طریق فرایند آسیاب کردن دیسکی از شرکت نانو نوین پلیمر ایران با میانگین قطر الیاف 28 ± 11 نانومتر تهیه شد. در این تحقیق، به منظور ساخت کاغذهای دستساز از روش ارائه-شده در تحقیقات مشابه قبلی استفاده شد (Henriksson, 2008a, Yousefi *et al.*, 2010 and 2011a). بر این اساس سوسپانسیون‌های الیاف با غلظت $2/0$ درصد برای تولید کاغذ با وزن پایه کل 80 ± 1 گرم بر مترمربع تهیه شدند. به این منظور با توجه به میزان غلظت سوسپانسیون، قطر کاغذ نهایی (9 سانتی‌متر) و وزن پایه آن، برابر $0/5$ گرم خمیر کاغذ شیمیایی مکانیکی خشک با درجه روانی CSF 400 به عنوان نمونه شاهد بر روی همزن مغناطیسی در دمای اتاق همزنی شد. پس از آن سوسپانسیون حاصل داخل قیف بوخرن چینی (با قطر 9 سانتی‌متر) ریخته شد که در بردارنده 2 نوع صافی - کاغذ صافی معمولی در زبر و -2 صافی غشایی با قطر منافذ $2/0$ میکرومتر بر روی کاغذ صافی بود. سپس سوسپانسیون خمیر از طریق مکش حاصل از پمپ خلاً آب‌گیری شد. نمونه‌ها به صورت مجزا در دستگاه پرس تر قرار داده شدند و با تنظیم فشار پرس در دو سطح 3 و 6 بار پرس شدند. درنهایت نمونه‌های ساخته شده در آون (100 درجه سانتی‌گراد) خشک شدند. متغیرهای به کار گرفته شده در این تحقیق به ترتیب عبارتند از: (1) تولید کاغذهای دستساز در دو سطح درجه روانی CSF 250 و 400 ، (2) درصدهای مختلف وزنی سلولز نانو-فیبریله شده افزوده شده به کاغذ شامل $0, 5, 20$ و 50 درصد و (3) بکار گیری پرس تر در دو سطح 3 و 6 بار.



شکل ۱- تأثیر سطوح مختلف سلوژ نانوفیبریله شده بر ضخامت کاغذ



شکل ۲- تأثیر سطوح مختلف سلوژ نانوفیبریله شده بر قابلیت نفوذپذیری به هوا و دانسیته ظاهری کاغذ

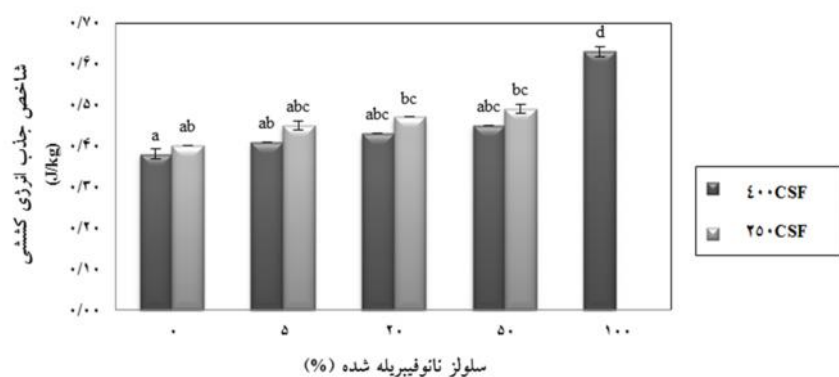
جدول ۱- آزمون تجزیه واریانس تأثیر سطوح مختلف سلوژ نانوفیبریله شده بر ویژگی‌های فیزیکی و ممانعتی کاغذ

| ویژگی | نفوذپذیری به هوا | قابلیت | دانسیته ظاهری | ضخامت | مجموع مربعات | درجه آزادی | میانگین مربعات | F محاسبه شده | سطح معنی‌داری |
|---------------|------------------|--------|---------------|----------|--------------|------------|----------------|--------------|---------------|
| ضخامت | بین گروه‌ها | 0.000 | 8/778 | 2165/343 | 8 | 25322/741 | | | |
| | داخل گروه‌ها | | | 360/593 | 18 | 6490/667 | | | |
| | کل | | | | 26 | 31813/407 | | | |
| دانسیته ظاهری | بین گروه‌ها | 0.000 | 78/527 | 0/050 | 8 | 0/398 | | | |
| | داخل گروه‌ها | | | 0/001 | 18 | 0/011 | | | |
| | کل | | | | 26 | 0/410 | | | |
| قابلیت | بین گروه‌ها | 0.000 | 203/089 | 2/848 | 8 | 22/782 | | | |
| | داخل گروه‌ها | | | 0/014 | 18 | 0/252 | | | |
| | کل | | | | 26 | 23/034 | | | |

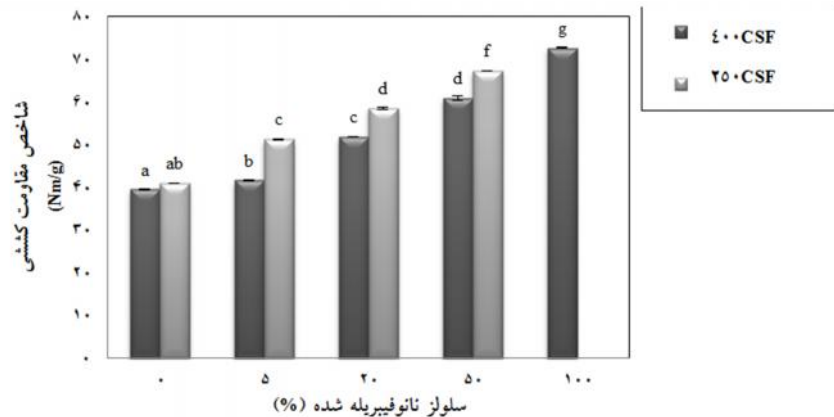
۲۵۰ نسبت به درجه روانی CSF (۴۰۰ ml) از خواص کششی بهتری برخوردار است. در شکل ۵ مشخص است که مقاومت به پارگی کاغذ با افزایش سطح مصرف سلولز نانوفیبریله شده کاهش اندک، اما معنی داری یافته است. از طرفی با افزایش میزان پالایش نیز کاهش معنی داری در مقاومت به پارگی در درجه روانی CSF (۴۰۰ ml) ۲۵۰ دیده می شود.

ویژگی های مقاومتی

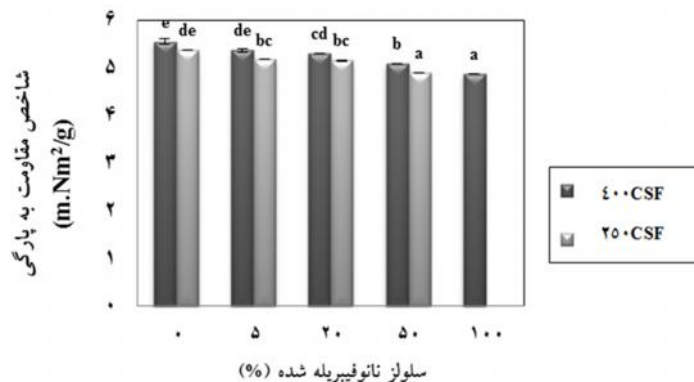
همان طور که در شکل ۳ و ۴ مشخص است، افزایش میزان مصرف سلولز نانوفیبریله شده موجب افزایش معنی دار خواص کششی و به ویژه شاخص مقاومت کششی کاغذ شده است. به طوری که کاغذ حاصل از ۱۰۰ درصد سلولز نانوفیبریله شده بیشترین مقدار این مقاومت را به خود اختصاص داده است. همچنین خمیر کاغذ با پالایش بیشتر (درجه روانی



شکل ۳- تأثیر سطوح مختلف سلولز نانوفیبریله شده بر شاخص جذب انرژی کششی کاغذ



شکل ۴- تأثیر سطوح مختلف سلولز نانوفیبریله شده بر مقاومت کششی کاغذ



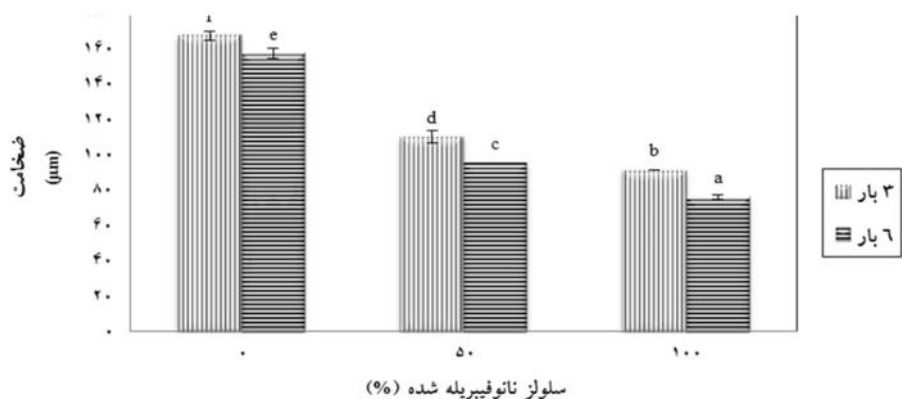
شکل ۵- تأثیر سطوح مختلف سلولز نانوفیبریله شده بر مقاومت به پارگی کاغذ

جدول ۲- آزمون تجزیه واریانس تأثیر سطوح مختلف سلولز نانوفیبریله شده بر ویژگی های مقاومتی

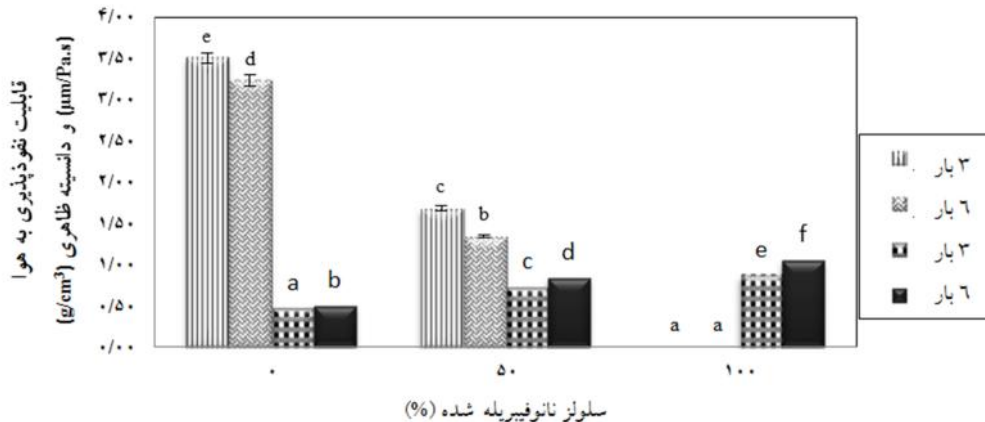
| ویژگی | کل | داخل گروهها | بین گروهها | شاخص |
|--|-------|-------------|------------|------------------|
| جذب انرژی | ۰/۰۳۷ | ۰/۰۳۷ | ۰/۰۱۶ | ۰/۰۰۰ |
| | ۰/۰۲۶ | ۰/۰۲۶ | ۰/۰۰۲ | ۷/۸۳۳ |
| | ۰/۰۱۸ | ۰/۰۱۸ | ۰/۰۱۶ | F میانگین مربعات |
| کششی مقاومت | ۰/۰۶۸ | ۰/۰۶۸ | ۰/۰۲۶ | ۰/۰۰۰ |
| | ۰/۰۴۱ | ۰/۰۴۱ | ۰/۰۲۷ | ۳۷۸/۶۲۷ |
| | ۰/۰۲۹ | ۰/۰۲۹ | ۰/۰۲۷ | درجه آزادی |
| کششی مقاومت به پارگی | ۰/۰۴۱ | ۰/۰۴۱ | ۰/۰۲۷ | ۰/۰۰۰ |
| | ۰/۰۱۹ | ۰/۰۱۹ | ۰/۰۱۵ | ۱۴/۱۸۳ |
| | ۰/۰۱۳ | ۰/۰۱۳ | ۰/۰۱۱ | ۱/۱۲۹ |
| مجموع مربعات | | ۰/۱۳۰ | ۰/۰۳۰ | ۰/۰۰۰ |
| درجه آزادی | | ۸ | ۸ | ۷/۸۳۳ |
| F میانگین مربعات | | ۰/۰۰۲ | ۰/۰۰۰ | ۰/۰۰۰ |
| کششی | | ۰/۰۱۸ | ۰/۰۱۶ | ۰/۰۰۰ |
| جذب انرژی | | ۰/۰۰۷ | ۰/۰۰۷ | ۰/۰۰۰ |
| کل | | ۰/۰۶۸ | ۰/۰۶۸ | ۰/۰۰۰ |
| کششی مقاومت | | ۰/۰۴۱ | ۰/۰۴۱ | ۰/۰۰۰ |
| کل | | ۰/۰۲۹ | ۰/۰۲۹ | ۰/۰۰۰ |
| کششی مقاومت به پارگی | | ۰/۰۱۹ | ۰/۰۱۹ | ۰/۰۰۰ |
| کل | | ۰/۰۱۳ | ۰/۰۱۳ | ۰/۰۰۰ |
| مقایسه تأثیر پرس در کاغذهای حاصل از میکروالیاف و نانوالیاف خواص فیزیکی و ممانعتی همان طور که در شکل های ۶ و ۷ مشاهده می شود با | | | | |

افزایش فشار پرس تر، ضخامت و نفوذپذیری به هوای کاغذ کاهش و دانسیته ظاهری افزایش معنی داری یافته است.

مقایسه تأثیر پرس در کاغذهای حاصل از میکروالیاف و نانوالیاف خواص فیزیکی و ممانعتی همان طور که در شکل های ۶ و ۷ مشاهده می شود با



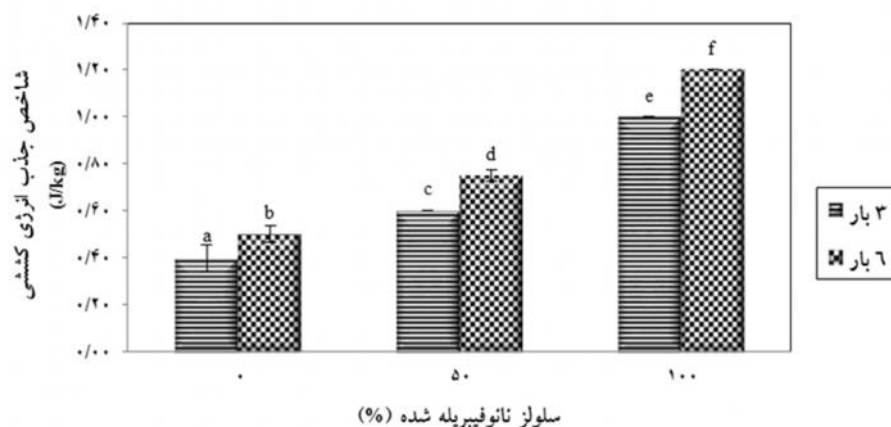
شکل ۶- تأثیر سطوح مختلف فشار پرس تر بر ضخامت



شکل ۷- تأثیر سطوح مختلف فشار پرس تر بر قابلیت نفوذپذیری به هوای دانسیته ظاهری کاغذ

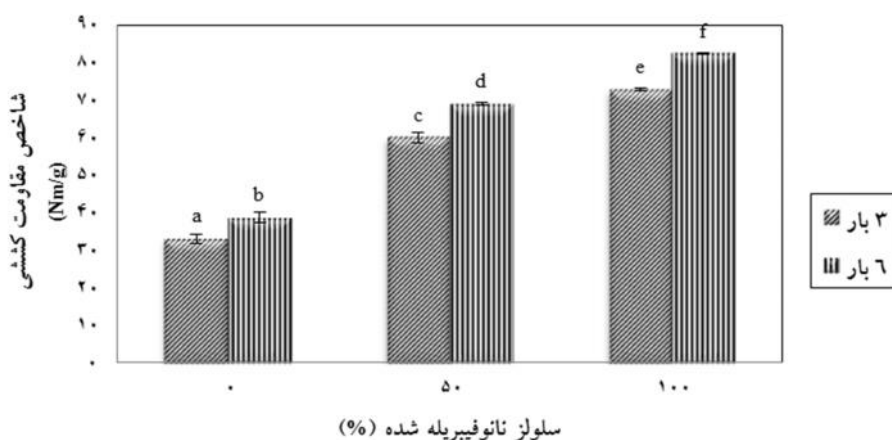
جدول ۳- آزمون تجزیه واریانس تأثیر سطوح مختلف فشار پرس تر بر ویژگی‌های فیزیکی و ممانعتی کاغذ

| ویژگی | ضخامت | میانگین مریعات | درجه آزادی | مجموع مریعات | محاسبه شده | سطح معنی داری | F |
|-------------------------|-------------|----------------|------------|--------------|------------|---------------|----------|
| داخل گروهها | بین گروهها | ۴۱۹۰/۴۰۰ | ۵ | ۲۰۹۵۲ | ۴۱۹۰/۴۰۰ | ۰/۰۰۰ | ۴۱۹۰/۴۰۰ |
| | داخل گروهها | ۱/۰۰۰ | ۱۲ | ۱۲ | ۱/۰۰۰ | | |
| | کل | | ۱۷ | ۲۰۹۶۴ | | | |
| ظاهری | بین گروهها | ۱۶۷۶/۰۱۲ | ۵ | ۰/۷۴۵ | ۱۶۷۶/۰۱۲ | ۰/۰۰۰ | ۱۶۷۶/۰۱۲ |
| | داخل گروهها | ۰/۰۰۰ | ۱۲ | ۰/۰۰۱ | ۰/۰۰۰ | | |
| | کل | | ۱۷ | ۰/۷۴۶ | | | |
| قابلیت نفوذپذیری به هوا | بین گروهها | ۳۳۸۰/۷۹۸ | ۵ | ۳۴/۳۷۱ | ۳۳۸۰/۷۹۸ | ۰/۰۰۰ | ۳۳۸۰/۷۹۸ |
| | داخل گروهها | ۰/۰۰۲ | ۱۲ | ۰/۰۲۴ | ۰/۰۰۲ | | |
| | کل | | ۱۷ | ۳۴/۳۹۶ | | | |



شکل ۸- تأثیر سطوح مختلف فشار پرس تر بر شاخص جذب انرژی کششی کاغذ

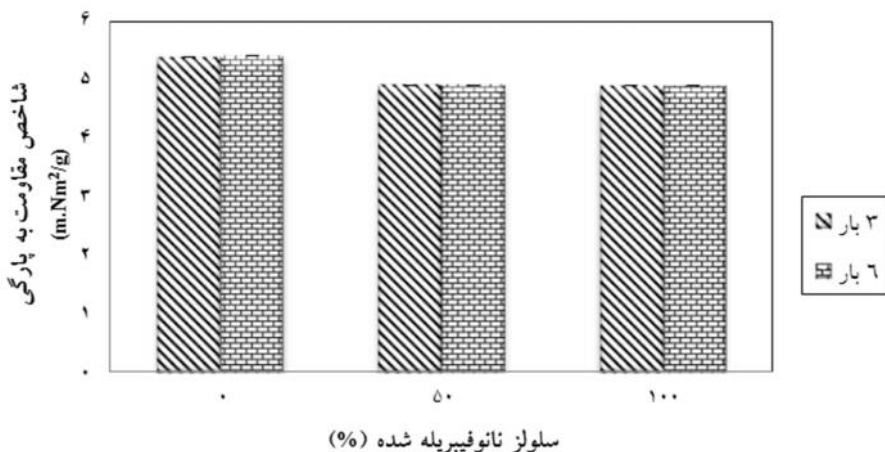
شکل ۸- تأثیر سطوح مختلف فشار پرس تر بر شاخص جذب انرژی کششی کاغذ



شکل ۹- تأثیر سطوح مختلف فشار پرس تر بر مقاومت کششی کاغذ

این است که مقاومت به پارگی کاغذهای حاوی سلولز نانوفیبریله شده در فشار پرس ۶ بار از نظر آماری اختلاف معنی داری با مقدار این پارامتر در فشار پرس ۳ بار ندارد.

خواص مقاومتی
بر اساس شکل ۸ و ۹ افزایش فشار پرس تر موجب بهبود خواص کششی کاغذ شده و نتایج اختلاف معنی داری را از خود نشان داده است. نکته جالب توجه در شکل ۱۰



شکل ۱۰- تأثیر سطوح مختلف فشار پرس تر بر مقاومت به پارگی کاغذ

جدول ۴- آزمون تجزیه واریانس تأثیر سطوح مختلف فشار پرس تر بر ویژگی های مقاومتی کاغذ

| ویژگی | مجموع مربعات | درجه آزادی | میانگین مربعات | F محاسبه شده | سطح معنی داری |
|-----------|--------------|------------|----------------|--------------|---------------|
| شاخص | ۱/۴۱۶ | ۵ | ۰/۲۸۳ | ۲۰۳/۴۸۲ | ۰/۰۰۰ |
| | ۰/۰۱۱ | ۱۲ | ۰/۰۰۱ | | جذب انرژی |
| | ۱/۴۲۷ | ۱۷ | | | کششی |
| مقاومت | ۵۹۰۷/۱۲۸ | ۵ | ۱۱۸۱/۴۲۶ | ۴۸۷۸/۵۶۴ | ۰/۰۰۰ |
| | ۲/۹۰۶ | ۱۲ | ۰/۲۴۲ | | کششی |
| | ۵۹۱۰/۰۳۴ | ۱۷ | | | کل |
| مقاومت به | ۰/۹۸۱ | ۵ | ۰/۱۹۶ | | |
| | ۰/۰۰۰ | ۱۲ | ۰/۰۰۰ | | پارگی |
| | ۰/۹۸۱ | ۱۷ | | | کل |

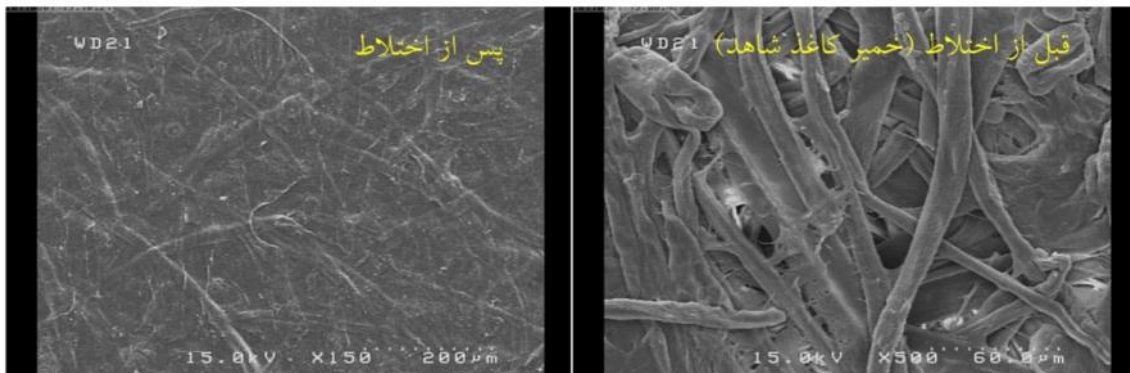
شکل های ۱۲ و ۱۳ نشان داده شده است. همان طور که در شکل ۱۱ مشاهده می شود، الیاف ریز و کاملاً فیبریله شده در حالت بعد از اختلاط یک فیلم صاف و همگن و الیاف بلند و قطور در حالت شاهد نایکنواختی و فضای خالی زیادی را در سطح کاغذ به وجود آورده اند. این تصاویر تفاوت نانوالیاف و میکروالیاف را به وضوح نشان می دهند. همان-

ریزنگارهای میکروسکوپ الکترونی روبشی نوع گسیل میدان

ریزنگاره میکروسکوپ الکترونی روبشی نوع گسیل میدان از سطح کاغذ حاوی ۵۰ درصد سلولز نانوفیبریله شده و نمونه شاهد (درجه روانی CSF ۲۵۰ ml, ۲۵۰ ml) در شکل ۱۱ و از محل پارگی نمونه ها در اثر آزمون مقاومت به پارگی در

شکل ۱۳ که از محل پارگی کاغذ شاهد گرفته شده است، الیاف خمیر کاغذ شیمیایی مکانیکی شبکه‌ای غیریکنواخت و نامنظم را به وجود آورده‌اند.

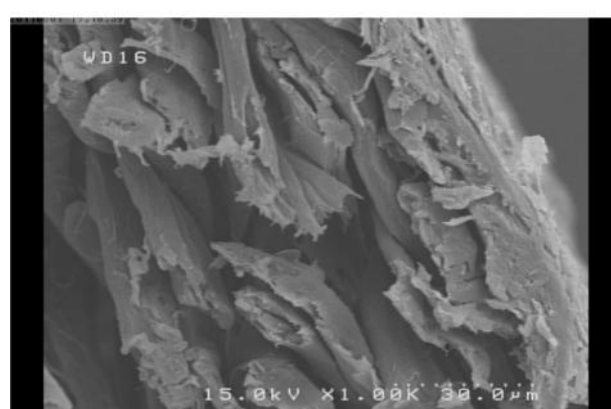
طور که در شکل ۱۲ مشاهده می‌شود میکروالیاف قطعه و بلند خمیر کاغذ شیمیایی مکانیکی در میان شبکه منظم و همگن نانو الیاف سلولز به وضوح قابل روئیت هستند. در



شکل ۱۱- ریزنگاره الکترونی سطح کاغذ قبل و بعد از اختلاط با ۵۰ درصد سلولز نانوفیبر یله شده



شکل ۱۲- ریزنگاره الکترونی سطح شکست پارگی کاغذ حاوی ۵۰ درصد سلولز نانوفیبر یله شده



شکل ۱۳- ریزنگاره الکترونی سطح شکست پارگی تمونه شاهد

بحث

نانوفیریله شده کمتر است و این نتیجه مؤید این مسئله است که عمل پالایش و در نتیجه افزایش فیرپلاسیون و دسترس-پذیری بیشتر گروههای هیدرولکسیل برهمکنش آنرا با ذرات سلولز نانوفیریله شده بیشتر کرده و این پدیده موجب بهبود مضاعف این مقاومت‌ها شده است.

در سلولز نانوفیریله شده، کوتاهشدن شدید الیاف طی عملیات آسیاب‌کردن موجب افت مقاومت به پارگی و از طرفی افزایش سطح ویژه الیاف شده، در نتیجه سطح پیوند آنها موجب افزایش این مقاومت می‌شود (Caulfield, 1988). درنهایت نتایج حاصل مؤید این مسئله است که افت مقاومت ناشی از کوتاهشدن شدید الیاف فاکتور غالب بوده و موجب کاهش مقاومت به پارگی شده است (Kang, 2007).

مقایسه تأثیر پرس در کاغذ حاصل از میکروالیاف و نانوالیاف

نانوالیاف به دلیل ابعاد ریز و سطح ویژه نسبتاً زیاد عمدتاً در خلل و فرج شبکه کاغذ بهتر جای می‌گیرند تا اینکه قابلیت پیوندیابی مناسب با الیاف و میکرو الیاف مجاور داشته باشند. پس از پرس بیشتر به دلیل کاهش شدید فواصل بین الیاف، تماس فیزیکی نانوالیاف و الیاف بیشتر شده، در نتیجه پیوندهای هیدروژنی بیشتری تشکیل می‌شود (در واقع از این توانمندی سطحی نانوالیاف استفاده بیشتر شده) و ضخامت کاهش بیشتری نسبت به کاغذ شاهد می-یابد. گفتنی است که افزایش فشار پرس تر سبب افزایش انعطاف‌پذیری و گسترش سطح تماس فیرها با هم و ذرات سلولز نانوفیریله شده، در نتیجه با افزایش سطح پیوند، کاهش خلل و فرج و تراکم بیشتر ساختار کاغذ موج افزایش دانسیته ظاهری و کاهش ضخامت و قابلیت نفوذپذیری به هوا کاغذ (و یا افزایش مقاومت به عبور هوا) می‌شود (Vainio and Paulapuro, 2007).

به علاوه اینکه افزایش فشار پرس تر منجر به تغییر وضعیت الیاف، گسترش تعداد و سطح پیوند هیدروژنی بین الیاف شده و خواص کششی کاغذ را بهبود می‌بخشد (2007)

در ارائه دلایل مربوط به خواص فیزیکی و ممانعتی کاغذ می‌توان از یک طرف به وجود ذرات سلولزی با ابعاد نانو اشاره کرد که قادر به پرکردن خلل و فرج متداول در بین الیاف بوده و هم‌راستا با افزایش دانسیته و افزایش پیوند بین لیفی موجب تشکیل یک شبکه لیفی متراکم شده است (Lagaron *et al.*, 2004, Henriksson, 2008a, Syverud and Stenius, 2009) از طرف دیگر، عمل پالایش با تغییر ساختار الیاف، انعطاف‌پذیری و ویژگی‌های سطحی آن موجب بهبود سطح نسبی پیوند یافته الیاف شده، در نتیجه باعث کاهش ضخامت و نفوذپذیری به هوا و افزایش دانسیته ظاهری کاغذ می‌شود (Kamg, 2007, Afra *et al.*, 2009) در واقع این بهبود به دلیل اثر مضاعف پالایش بر سلولز نانوفیریله شده است. نتایج تحقیقات Syverud و Stenius (2009) و Manninen (2011) نیز نشان داده که با روند داده‌های این پارامترها در این مطالعه یکسان است.

شایان ذکر است که درگیری فیزیکی زیاد بین نانوذرات سلولز با الیاف و سطح ویژه زیاد آنها سبب افزایش تعداد پیوند هیدروژنی و افزایش سطح پیوند بین الیاف شده و خواص کششی را بهبود می‌بخشد (Henriksson, *et al.*, 2008b) در واقع این نتایج را می‌توان به توزیع یکنواخت تر تنش به دلیل سطح ویژه زیاد سلولز نانوفیریله شده، گستردگی شبکه پیوند بین لیفی و افزایش سطح تماس فیر-فیر، عملکرد اصلی پالایش یعنی فیریله شدن داخلی و خارجی الیاف و ایجاد نرمه نسبت داد که منجر به افزایش دسترس‌پذیری گروههای هیدرولکسیل و سطح و تعداد پیوند شده و خواص کششی را بهبود می‌بخشد (Madani, *et al.*, 2011, Afra *et al.*, 2013) همچنین تحقیقات Syverud (2009) نیز نشان داده که با روند داده‌های مربوط به پارامترهای اندازه‌گیری شده در این مطالعه همخوانی دارد. با بررسی نتایج مشاهده می‌شود که نسبت اختلاف خواص کششی در خمیرکاغذ پالایش شده و پالایش نشده در مقایسه آن با همین نسبت در خمیرکاغذهای حاوی سلولز

- made from bagasse and softwood pulps. *Carbohydrate Polymers*, 97: 725-730.
- Ahola, S., Salmi, J., Johansson, L.S., Laine, J., and Osterberg, M., 2008, Model films from native cellulose nanofibrils: Preparation, swelling, and surface interactions, *Biomacromolecules*, 9: 1273-1282.
- Caulfield, D.F., Gunderson, D.E., 1988. Paper testing and strength characteristics. TAPPI proceedings of the 1988 paper preservation symposium. Wahsington DC. Atlanta. P. 31-40.
- Eriksen, O., Syverud, K., and Gregersen, O., 2008, The use of micro fibrillated cellulose produced from kraft pulp as strength enhancer in TMP paper, *Nordic Pulp & Paper Research Journal*, 23(3): 299-304.
- Fukuzumi, H., Saito, T., Wata, T., Kumamoto, Y., and Isogai, A., 2009, Transparent and high gas barrier films of cellulose nanofibers prepared by TEMPO-mediated oxidation, *Biomacromolecules*, 10: 162-165.
- Henriksson, M., 2008b. Cellulose nanofibril networks and composites; preparation, structures and properties. Doctoral dissertation. KTH Chemical Science and Engineering. Royal institute of technology. SE-100 44 Stockholm, Sweden, 51p.
- Henriksson, M., Berglund, L.A., Laksson, P., Lindstrom, T., and Nishino, T., 2008a, Cellulose nanopaper structures of high toughness, *Biomacromolecules*, 9 (6): 1579-85.
- Kamel, S., 2007, Nanotechnology and its applications in lignocellulosic composites, a mini review, *Polymer Letters*, 1(9): 546-575.
- Kang, T., 2007, Role of external fibrillation in pulp and paper properties. Doctoral dissertation. Department of forest products technology. Helsinki University of Technology. Finland. 41p.
- Lagaron, J.M., Catala, R., Gavara, R., 2004, Structural characteristics defining high barrier properties in polymeric materials, *Materials Science and Technology*, 20: 1-7.
- Madani, A., Kiiskinen, H., Olson, J.A., and Martinez, D.M., 2011, Fractionation of micro fibrillated cellulose and its effects on tensile index and elongation of paper, *Nordic Pulp & Paper Research Journal*, 26: 745-772.
- Manninen, M., Kajanto, I., Happonen, J., and Paltakari, J., 2011, The effect of micro fibrillated cellulose addition on drying shrinkage and dimensional stability of wood-free paper, *Nordic Pulp & Paper Research Journal*, 26(3): 297-305.
- Siro, I., and Plackett, D., 2010, Micro fibrillated cellulose and new nanocomposite materials: A review, *Cellulose*, 17: 459-494.

(Vainio and Paulapuro, 2008). لازم به ذکر است که افزایش فشار پرس تر در مقادیر زیادتر سلولز نانوفیبریله شده تأثیر بیشتری بر بهبود خواص کششی کاغذ داشته است. همانطور که نتایج حاصل از خواص کششی و فیزیکی ثابت کرد، افزایش فشار پرس تر موجب بهبود سطح پیوند الیاف می‌گردد. اما از آنجا که افزایش فشار پرس تر تأثیری بر مقاومت ذاتی الیاف نداشته، در نتیجه با تغییر این عامل فرایندی مقاومت به پارگی کاغذ تغییری نکرده است. به علاوه با افزایش فشار پرس تر و سطح مصرف سلولز نانوفیبریله شده، مقاومت به پارگی در مقایسه با خمیرکاغذ شاهد کاهش معنی‌داری داشته است؛ به عبارت دیگر گسترش پیوندها در اثر افزایش فشار پرس تر توانسته بر کاهش مقاومت ذاتی الیاف تحت فرایند نانوفیبریله شدن فائق آید و منجر به کاهش مقاومت به پارگی شده است. با توجه به تصاویر الکترونی گرفته شده از سطح کاغذ قبل و بعد از اختلاط با ۵۰ درصد سلولز نانوفیبریله شده، افزایش سطح پیوند هیدروژنی در نتیجه بهبود ویژگی‌های کششی و مقاومت به عبور هوای کاغذ در اثر افزودن نانوالیاف قابل توجیه می‌باشد (Henriksson, 2008a, 2009) مشاهدات مشاهدات حاصل از شکل ۱۲ نیز بیانگر آن است که نانوذرات سلولز با سطح ویژه زیاد و گروه‌های هیدروکسیل فراوان توانسته‌اند با برقراری پیوند هیدروژنی فراوان با یکدیگر و با میکروفیبریل‌های خمیرکاغذ شیمیایی مکانیکی قابلیت نفوذپذیری به هوا و غیریکنواختی کاغذ را به مقدار زیادی کاهش و مقاومتها را افزایش دهند. در شکل ۱۳ نیز نواحی تیره زیادی مشاهده می‌شود که نشان‌دهنده فضاهای خالی یا عدم تشکیل پیوند هیدروژنی بین الیاف در اثر فیبریله شدن جزئی و انعطاف‌پذیری محدود الیاف در فرایند پالایش می‌باشد.

منابع مورد استفاده

- Afra, E., Yousefi, H., Hadilam, M.M., and Nishino, T., 2013. Comparative effect of mechanical beating and nanofibrillation of cellulose on paper properties

- properties prepared from bacterial cellulose nanofibers and fibers/ground cellulose nanofibers of canola straw, *Industrial Crops and Products*, 43: 732-737.
- Yousefi, H., Faezipour, M., Nishino, T., Shakeri, A., and Ebrahimi, G., 2011a, All-cellulose composite and nanocomposite made from partially dissolved micro and nano fibers of canola straw, *Polymer*, 43: 559-564.
- Yousefi, H., Nishino, T., Faezipour, M., Ebrahimi, G., and Shakeri, A., 2011b, Direct fabrication of nanocomposite from cellulose microfibers using ionic liquid-based nanowelding, *Biomacromolecules*, 12: 4080-4085.
- Zimmermann, T., Bordeanu, N., and Strub, E., 2010, Properties of nano fibrillated cellulose from different raw materials and its reinforcement potential, *Carbohydrate Polymers*, 79(4): 1086-1093.
- Syverud, K., and Stenius, P., 2009, Strength and barrier properties of MFC films, *Cellulose*, 16: 75-85.
- Vainio, A., and Paulapuro, H., 2007, The effect of wet pressing and drying on bonding and activation in paper, *Nordic Pulp & Paper Research Journal*, 22(4): 403-408.
- Wegberg, L., Decher, G., Norgren, M., Lindstro, M.T., Ankerfors, M., and Axnäs, K., 2008, The build-up of polyelectrolyte multilayers of microfibrillated cellulose and cationic polyelectrolytes, *Langmuir*, 24: 784-795.
- Yousefi, H., Nishino, T., Faezipour, M., Ebrahimi, G., Shakeri, A., and Morimone, S., 2010, All-cellulose nanocomposite made from nano fibrillated cellulose fibers, *Advanced Composites Letters*, 19: 190-195.
- Yousefi, H., Faezipour, M., Hedjazi, S., Mousavi, M.M., Azusa, Y., and Heidari, A.H., 2013, Comparative study of paper and nanopaper

Studying the effect of pulp refining and paper pressing and using nano fibrillated cellulose to improve the CMP pulp properties

S. Aliniyay Lakani¹*, E. Afra² and H. Yousefi³

1*- Corresponding author, Ph.D., student of Pulp and Paper Industries, Faculty of Natural Resources, Tehran University, Karaj, Iran, Email: aliniasahba@yahoo.com

2- Assistant prof., Department of Pulp and Paper Industries, Faculty of Wood and Paper Engineering, Gorgan University of Agricultural Sciences and Natural Resources, Goran, Iran

3-Assistant prof., Department of Technology and Engineering of Wood, Faculty of Wood and Paper Engineering, Gorgan University of Agricultural Sciences and Natural Resources, Goran Iran

Received: April, 2015 Accepted: Feb., 2016

Abstract

In this research, nano fibrillated cellulose, as a reinforcement nano material and environmentally biodegradable material which has recently attracted the attention of most researchers and paper producers, has been added to chemi-mechanical pulp used for manufacturing liner board. Different charges of 5, 20, 50 and 100% and two levels of freeness were selected. Also, the effect of paper wet pressing, one of the most important processing elements on the properties of paper reinforced with nano fibrillated cellulose, in two levels of press pressure (3 and 6 bar), has been investigated. Finally, physical, barrier and strength properties of the papers produced have been measured according to TAPPI test methods. Addition of nano fibrillated cellulose was resulted in improved tensile and air resistance of chemi-mechanical pulp and increasing trend in improving of these properties with increasing press pressure was one of the important achievements of the present research.

Key words: Nano fibrillated cellulose, chemi-mechanical pulp, wet press, paper properties.